

شناسایی مکانهای ژنی کنترل کننده زمان گلدهی در توتون تیپ شرقی

فرامرز هوشیاردل^۱، رضا درویش زاده^{۱*} و حمید حاتمی ملکی^۲

^۱ ارومیه، دانشگاه ارومیه، دانشکده کشاورزی گروه اصلاح و بیوتکنولوژی گیاهی

^۲ مراغه، دانشگاه مراغه، دانشکده کشاورزی، گروه زراعت و اصلاح نباتات

تاریخ پذیرش: ۹۲/۱۲/۲۳ تاریخ دریافت: ۹۲/۱۱/۲۵

چکیده

به منظور شناسایی مکانهای ژنی مرتبط با گلدهی در توتون تیپ شرقی، جمعیت ژنتیکی شامل ۱۰۰ فرد F₂ حاصل از تلاقی دو ژنتیپ توتون شرقی SPT 406 (والد پدری) و Basma seres 31 (والد مادری) برای صفت روز تا شروع گلدهی مورد ارزیابی قرار گرفتند. در آزمایشات مولکولی نقشه پیوستگی جمعیت F₂ با ۲۳ نشانگر SSR و ۲۹ نشانگر ISSR تهیه گردید که ۵۷۰/۸ از ژنوم توتون را پوشش می‌داد. با استفاده از روش‌های مکان یابی فاصله ای ساده و مرکب به ترتیب ۹ و ۲ QTL برای صفت مورد مطالعه شناسایی گردید. در این مطالعه، بیشترین تعداد QTL در گروه پیوستگی شماره پنج شناسایی شد. QTL های qDF5-3 و qDF2-2، شناسایی شده با روش مکان یابی فاصله ای ساده، به ترتیب با توجیه ۰/۸ و ۳۶ درصد از تغییرات فنوتیپی صفت (R²)، به ترتیب کوچکترین و بزرگترین QTL های شناسایی شده می‌باشند. درصد تغییرات فنوتیپی توجیه شده (R²) توسط QTL های شناسایی شده با روش مکان یابی فاصله ای مرکب (qDF5-1 و qDF5-2)، به ترتیب ۱/۹۵ و ۱۵/۳۴ درصد بود. نتایج نشان داد که مکان هایی با اثرات ژنی افزایشی و غالبیت در کنترل ژنتیکی صفت روز تا شروع گلدهی در توتون تیپ شرقی نقش دارند.

واژه های کلیدی: توتون، جمعیت ژنتیکی، صفات کمی، مکان یابی ژن، نشانگرهای مولکولی

* نویسنده مسئول، تلفن: ۰۴۴۳۲۷۷۹۵۵۸، پست الکترونیکی: r.darvishzadeh@urmia.ac.ir

مقدمه

از اجزای اصلی سازنده خرمن سیگار است در صنعت می باشدند (۱۴).

در بین صفات مختلف گیاهی، گلدهی یکی از مراحل مهم در چرخه زندگی گیاه بوده (۳) و صفاتی مانند عملکرد، کیفیت محصول و مقاومت به تنشهای محیطی، وابستگی زیادی به زمان گلدهی دارند (۱۳). گلدهی نشانه انتقال گیاه از مرحله رویشی به مرحله زایشی می باشد (۲۶). گلدهی صفت کلیدی در سازگاری گیاه و هدف عملده در به نژادی گیاهان محسوب می گردد (۳). تاریخ گلدهی توسط حرکهای محیطی تحت تأثیر قرار می گیرد که فتوپریودیسم یکی از عوامل تعیین کننده آن است (۲۹).

جنس Nicotiana از خانواده Solanaceae دارای بیش از ۶۴ گونه است که دو گونه آمفی دیپلوید tabacum و rustica (۲n=۴۸) در مقایسه با سایر گونه های موجود در این جنس به طور گسترده ای کشت می گرددند (۳۶). توتون (Nicotiana tabacum L.) از مهم ترین محصولات غیر غذایی در بخش کشاورزی در جهان و ایران بوده که در بیش از ۱۰۰ کشور جهان در سطحی بالغ بر ۴/۲ میلیون هکتار کشت می گردد (۲). این گیاه همچنین به عنوان یک گیاه مدل در اکثر مطالعات زیست گیاهی و زراعت مولکولی برای تولید مواد تجاری مهمی نظری داروها و واکسنها استفاده می شود (۱۵). در میان تیپهای مختلف رشدی توتون، توتونهای شرقی به دلیل داشتن بوی مطلوب

می‌تواند باعث اریبی در نتایج شود و به همین دلیل بهتر است مکانیابی QTL با استفاده از خانواده‌های $F_{2 \times 3}$ صورت گیرد و برای گزینش براساس نشانگر، نشانگرهایی معرفی شوند که وابسته به نسل نباشند. با توجه به اینکه در F_2 ، QTL‌های شناسایی شده ممکن است پایدار و از طرفی تکرارپذیر نباشند، استفاده از این جمعیتها برای انجام مطالعات پایه‌ای در گیاهانی که گزارشات کمی در مورد شناسایی QTL‌ها و نحوه اثرات آنها وجود دارد مناسب است. در مکانیابی QTL با استفاده از نسل F_2 در کنار اثرات افزایشی، اثرات غالبیت ژنهای کنترل‌کننده صفات نیز قابل برآورده است. تهیه نقشه پیوستگی و شناسایی QTL‌ها در گیاهان مختلفی انجام گرفته است ولی در مورد توتون آن می‌تواند اندازه بزرگ ژنوم توتون در خانواده Solanaceae در مقایسه با سایر گیاهان این خانواده باشد. شناسایی QTL‌های کنترل‌کننده صفات مختلفی از قبیل مقدار نیکوتین، پتانسیم و قند موجود در برگ توتون (۱۲ و ۲۸)، مقاومت به بیماری لکه برگی (۳۴) و مقدار تجمع کلر در برگ توتون (۲۵) انجام گرفته است. علی‌رغم این مطالعات، QTL‌ای برای صفت تاریخ گلدهی در توتون گزارش نگردیده است. در سایر انواع گیاهان خانواده Solanaceae از قبیل گوجه فرنگی (۱۱، ۱۷، ۲۳، ۲۷، ۳۱ و ۳۳) و بادمجان (۲۱) مطالعات مکانیابی QTL برای صفت گلدهی انجام گرفته است. به عنوان نمونه فربی و همکاران (۲۱) در مطالعه‌ای که روی بادمجان انجام دادند، هشت QTL برای صفت روز تا گلدهی شناسایی نمودند که در هفت گروه پیوستگی پراکنده بودند. این مطالعه با هدف شناسایی QTL‌های کنترل‌کننده صفت روز تا گلدهی در یک جمعیت F_2 حاصل از تلاقی دو ژنتیپ توتون شرقی شامل 31 Basma seres (والد مادری) و 406 SPT (والد پدری) انجام گرفت.

مواد و روشها

بیشتر گونه‌های گیاهی درجات مختلفی از فتوپریودیسم را نشان می‌دهند که کنترل کننده زمان یا تاریخ گلدهی می‌باشد (۲۹). طبق تحقیقات حاتمی ملکی و همکاران (۲۴) تنوع ژنتیکی قابل ملاحظه‌ای در ژرم پلاسم توتون شرقی موجود در کشور برای صفت تاریخ گلدهی وجود داشته و این صفت همبستگی معنی داری با سایر صفات زراعی در توتون دارد. همچنین طبق مطالعات وايت و همکاران (۳۵) بین صفت روز تا گلدهی با صفات عرض برگ، تعداد برگ و عملکرد برگ خشک توتون همبستگی معنی داری وجود دارد. بنابراین می‌توان استنباط نمود که صفت روز تا گلدهی جزء صفات مهم در توتون می‌باشد. به دلیل توارث پلی‌ژنیک صفت، امکان بهبود آن به وسیله اصلاح کلاسیک دشوار می‌باشد (۳۹). پیشرفت‌های اخیر در زیست‌شناسی مولکولی و روش‌های آماری برای مکانیابی QTL امکان تشخیص فاکتورهای مؤثر بر زمان گلدهی را فراهم نموده است (۳۹). آگاهی از تعداد ژنهای کنترل‌کننده، جایگاه کروموزومی آنها و سهم نسبی هر یک از ژنهای در ظاهر و توزیع فنوتیپی می‌تواند در کارهای به نزدیک آتی مورد استفاده قرار گیرد. روش‌های تجزیه QTL با شناسایی مکانهای ژنی کنترل‌کننده صفات می‌تواند به فهم کنترل ژنتیکی آنها و توسعه استراتیهای گزینش به کمک نشانگر کمک نماید (۲۸). جمعیتهای مختلفی جهت مکانیابی QTL‌ها مورد استفاده قرار می‌گیرند که هر یک دارای مزایا و معایب می‌باشد. از جمله جمعیتهای مورد استفاده در تهیه نقشه‌های ژنتیکی جمعیت F_2 بوده که از خودگشتنی F_1 حاصل از تلاقی دو والد منتخب حاصل می‌شود. از معایب نسل F_2 ، وجود تعداد میوز کمتر نسبت به نسلهای پیشرفت‌های می‌باشد، فلانا ممکن است نشانگرهایی که در فاصله دور از QTL قرار گرفته‌اند به صورت پیوسته با آن باقی بمانند که این ممکن است باعث اختلال در مکانیابی QTL شود. از دیگر معایب این جمعیتها، اندازه‌گیری صفات بر مبنای تک بوته است که در رابطه با صفات کمی که به شدت تحت تأثیر شرایط محیطی قرار می‌گیرند

تهیه نقشه پیوستگی و شناسایی QTL های زمان گلدهی: نقشه پیوستگی با استفاده از داده های حاصل از انگشت نگاری افراد جمعیت با نشانگرهای چند شکل، به وسیله نرم افزار CarthaGene 1.2.2 (۲۲) و با استفاده از تابع نقشه کوسامی، حداقل LOD برابر با سه و حداقل فاصله برابر با ۵۰ سانتی مورگان تهیه شد. شناسایی QTL های کنترل کننده صفت مورد مطالعه با استفاده از نقشه پیوستگی تهیه شده و ارزش اندازه گیری شده صفت در افراد جمعیت به روش مکان یابی فاصله ای (۳۰) و مکان یابی فاصله ای WinQTL (۳۷) و با استفاده از نرم افزار cartographer 2.5 (۶) انجام شد. در این مطالعه نام گذاری QTL ها به صورت QTL + نام صفت + شماره گروه پیوستگی + شماره QTL در گروه پیوستگی) انجام گرفت. در این نام گذاری، QTL با حرف کوچک "q" مشخص شده و اگر بیش از یک QTL در یک گروه پیوستگی قرار داشته باشد به ترتیب با شماره های یک، دو و غیره نشان داده می شوند.

نتایج و بحث

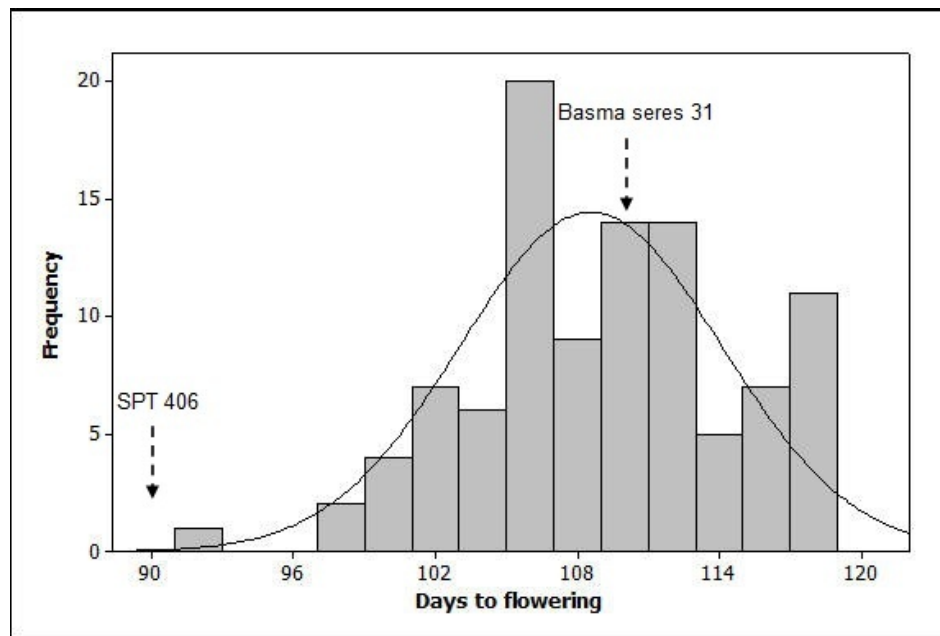
ارزیابی زمان گلدهی در جمعیت در حال تفرق F_2 : نتایج این تحقیق نشان داد که بین والدین جمعیت در حال تفرق F_2 اختلاف معنی داری در سطح احتمال پنج درصد برای صفت روز تا شروع گلدهی وجود دارد (جدول ۱). وجود اختلاف معنی دار بین والدین امکان مکان یابی QTL های کنترل کننده صفت مزبور را فراهم می نماید. اختلاف بین میانگین والدین و میانگین افراد F_2 نیز معنی دار بود (جدول ۱) که می تواند، به علت وجود تفرق در نسل F_2 اثرات افراشی، غالیت و اپیستازی مکانهای ژنی باشد. با توجه به توزیع فراوانی پیوسته افراد F_2 و موقعیت والدین برای صفت روز تا شروع گلدهی (شکل ۱)، صفت مورد مطالعه یک صفت کمی و پلی ژنیک است. تعدادی از افراد F_2 دارای ارزش فنوتیپی خارج از محدوده ارزش فنوتیپی والدین می باشند (شکل ۱) که نشان دهنده وجود پدیده

مواد گیاهی و ارزیابی فنوتیپی: در این مطالعه، دو ژنوتیپ توتون شرقی شامل 31 Basma seres و 406 SPT که براساس مطالعات قبلی توسط حاتمی ملکی و همکاران (۲) از نظر اکثر صفات آگرومورفولوژیک به ویژه صفت روز تا گلدهی با همدیگر متفاوت بوده و در دو انتهای توزیع صفات قرار داشتند، انتخاب گردیدند. دو ژنوتیپ Basma seres (والد پدری و زود گل ده) و 31 SPT (والد مادری و دیر گل ده) با همدیگر تلاقی داده شده و از خودگشتنی بوته های F_1 حاصل از تلاقی این والدین، ۱۰۰ فرد F_2 جهت تهیه نقشه پیوستگی مورد استفاده قرار گرفتند. اندازه جمعیت مورد استفاده در تهیه نقشه های ژنتیکی معمولاً بین ۱۰۰ تا ۳۰۰ فرد یا لاین متغیر است (۷، ۸). به هر حال هر چقدر اندازه جمعیت بیشتر، موضوع نقشه بیشتر و مکان یابی QTL با دقت بیشتری انجام می گیرد (۳۲، ۲۰). زمانی که افراد جمعیت بیشتر، F₂ در مرحله چهار برگی بودند، نمونه برگی به منظور استخراج DNA تهیه شد. در این مطالعه، صفت زمان گلدهی به صورت تعداد روز تا شروع گلدهی ثبت گردید.

استخراج DNA ژنومی و انجام واکنش زنجیره ای پلیمراز با آغازگرهای SSR و ISSR : DNA ژنومی از گیاهان والدینی و افراد F_2 به روش دلپورتا و همکاران (۱۶) استخراج گردید. ۱۶۲ جفت آغازگر SSR مربوط به نقشه ژنتیکی بیندلر و همکاران (۹) و ۸۰ نشانگر ISSR مربوط به دانشگاه بریتیش کلمبیا از نظر چندشکلی در والدین جمعیت، مورد آزمون قرار گرفتند. لازم به ذکر است که واکنشهای زنجیره ای پلی مراز با استفاده از آغازگرهای SSR و ISSR به ترتیب با روش ایک و همکاران (۱۹) و یانگ و همکاران (۳۶) انجام گرفت. تعیین ژنوتیپ افراد F_2 با استفاده از نشانگرهای SSR و ISSR که در والدین جمعیت چند شکلی نشان داده بودند انجام گرفت.

فنتیبی بالاتر و یا پایین تر در مقایسه با والدها می‌شود (۵).

تفکیک متجاوز در این صفت است. تفکیک متجاوز نشان می‌دهد که الهای هر دو والد در بروز صفت گلدهی دخالت داشته و ترکیب آنها منجر به ایجاد ارزش‌های



شکل ۱- توزیع فراوانی صفت روز تا گلدهی در جمعیت در حال تفرق F_2 حاصل از تلاقی بین Basma seres 31 (والد مادری) و SPT 406 (والد پدری). ارزش فنتیبی والدین با پیکان نشان داده شده است.

توتون شرقی ترسیم گردید که شامل هفت گروه پیوستگی بود و ۵۷۰/۸ سانتی مورگان از ژنوم توتون شرقی را پوشش می‌داد (شکل ۴)، در نقشه پیوستگی تهیه شده (شکل ۴)، تعداد ۳۴ نشانگر SSR و ۱۴ نشانگر ISSR نشانگر در ۷ گروه پیوستگی قرار گرفتند و ۱۸ نشانگر به دلیل عدم پیوستگی با سایر نشانگرها در گروههای پیوستگی قرار نگرفتند. اشباع نقشه با تعداد نشانگر های بیشتر باعث خواهد شد به تعداد کروموزومها در حالت هاپلوئیدی گیاه (n=24)، گروههای پیوستگی تشکیل شود. در این صورت به احتمال زیاد نشانگرهایی که در مرحله نخست وارد گروههای پیوستگی نشده اند وارد نقشه اشباع می‌شوند. تعداد نشانگرها در گروههای پیوستگی حداقل دو عدد و حداقل ۱۲ عدد بوده و میانگین فاصله بین دو نشانگر ۱۷/۳ سانتی مورگان است (شکل ۴). نام گذاری گروههای پیوستگی براساس وجود نشانگر مشترک با گروههای

وجود تفکیک متجاوز برای صفت مقدار تجمع کار در برگ توتونهای شرقی نیز گزارش گردیده است (۲۵). سود رتنیکی که از اختلاف بین میانگین ۱۰ درصد از بهترین F_2 ها با میانگین والدین محاسبه می شود معنی دار است (جدول ۱) که بیانگر امکان تغییر میانگین جمعیت نسل بعد از لحاظ این صفت می باشد.

شناسایی QTL های کنترل کننده زمان گلدهی : نتایج نشان داد که ۲۳ جفت آغازگر SSR از ۱۶۲ جفت آغازگر SSR و ۲۹ آغازگر ISSR از ۸۰ آغازگر ISSR مورد مطالعه، بین والدین جمعیت F_2 چندشکل می باشند. میزان چندشکلی برای نشانگر SSR ۱۴/۲ درصد و برای نشانگر ISSR ۳۶/۲ درصد به دست آمد. در شکل های ۲ و ۳ انگشت نگاری تعدادی از ژنوتیپهای F_2 با نشانگر های SSR و ISSR نشان داده شده است. با استفاده از ۵۲ آغازگر چند شکل (۲۳ SSR و ۲۹ ISSR)، نقشه پیوستگی

مورد مطالعه، GG10%: بازده ژنتیکی زمانی که ۱۰ درصد از بهترین افراد F_2 انتخابی با میانگین والدین مقایسه شوند، STDEV: انحراف معیار.

نتایج مکان‌یابی QTL با استفاده از روش مکان‌یابی ساده نشان داد که تعداد ۱۶ QTL مرتبط با صفت مورد مطالعه در گروه‌های پیوستگی مختلف پراکنده اند و بیشترین تعداد QTL‌ها در گروه پیوستگی ۴ شناسایی شد (نتایج متشر نشده). با استفاده از روش‌های IM و CIM به ترتیب ۹ و ۲ QTL برای صفت روز تا شروع گلدهی شناسایی شد (جدول ۲). QTL‌های شناسایی شده بوسیله روش IM در گروه‌های پیوستگی یک، دو، سه، پنج و هفت قرار دارند (شکل ۴). با استفاده از روش IM، ناحیه کروموزومی شناسایی شده qDF2-3 و qDF2-2 با ۰,۸ و ۳۶ درصد اثر فنوتیپی به ترتیب کوچکترین و بزرگترین QTL‌های شناسایی شده هستند که در گروه‌های پیوستگی دو و پنج قرار دارند (جدول ۲).

پیوستگی موجود در نقشه مرجع تهیه شده توسط بینالر و همکاران (۹ و ۱۰) انجام شد.

جدول ۱- پارامترهای ژنتیکی صفت روز تا گلدهی در جمعیت F_2 توتون شرقی حاصل از تلاقی بین Basma seres 31 (والد مادری) و SPT 406 (والد پدری) و والدین آنها

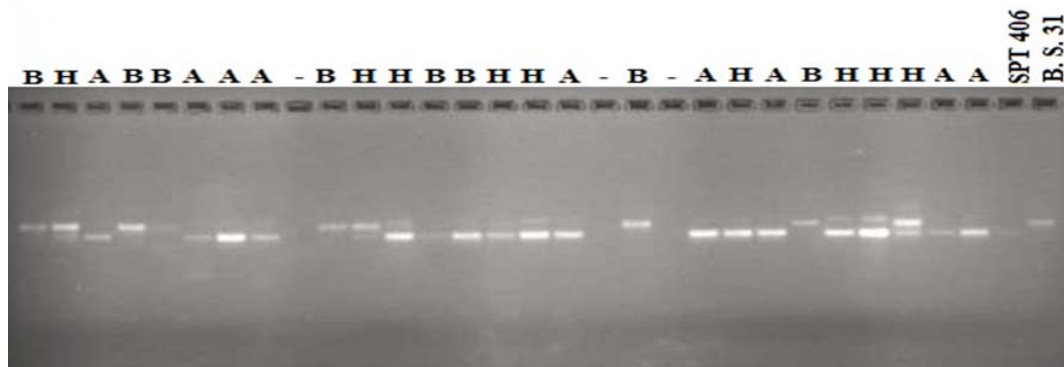
زمان گلدهی	Item
۱۰/۱	Basma seres 31(P1)
۹۰/۱	SPT406(P2)
۲۰	P1-P2
۱۰۰/۱	\bar{X}_P
۱۱۸	Max
۹۱	Min
۱۰۸/۵۶	\bar{X}_{F2}
۸/۴۶	$\bar{X}_P - \bar{X}_{F2}$
۱۱۷/۴	$\bar{X}_{10\%best F2}$
۱۷/۳	GG10% = $\bar{X}_{10\%best F2} - \bar{X}_P$
۵/۵۳	STDEV
۲/۰۵	LSD0.05

: $\bar{X}_{10\%best F2}$: میانگین والدین، \bar{X}_P : میانگین افراد F_2 ، \bar{X}_P : میانگین ۱۰ درصد از بهترین افراد F_2 انتخابی برای صفت

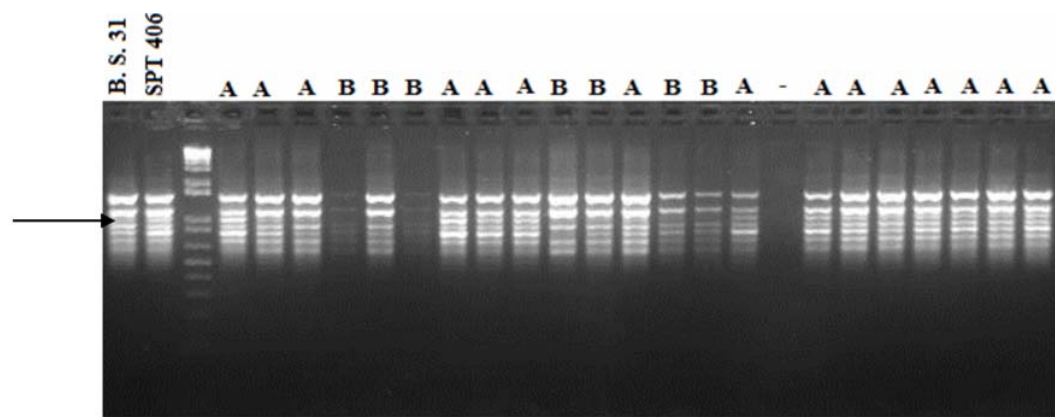
جدول ۲- موقعیت و اثر QTL‌های شناسایی شده برای صفت روز تا گلدهی در جمعیت F_2 توتون شرقی حاصل از تلاقی بین Basma seres 31 (والد مادری) و SPT 406 (والد پدری).

R ²	اثر غالیت	اثر افزایشی	LOD	موقعیت	نشانگر	گروه پیوستگی	QTL	روش
۱۲,۷۰	۲,۴۲	-۲,۱۹	۲,۶۴	۱۷	۲	۱	qDF1-1	IM
۱۶,۹۰	-۶۱,۲۰	-۲,۹۷	۳,۷۳	۳	۱	۷	qDF7-1	
۱۴,۶۰	-۲,۳۴	-۲,۲۸	۴,۸۶	۷	۱	۲	qDF2-1	
۳۶	۲,۷۸	-۴,۰۱	۴,۵۴	۲۸,۹	۲	۲	qDF2-2	
۱۷,۱۰	۱,۸۱	۲,۴۵	۴,۲۱	۲۰	۱	۵	qDF5-1	
۲۳,۶	۰,۹۹	-۳,۰۶	۳,۸۸	۴۳,۹	۴	۵	qDF5-2	
۰,۸۰	-۵,۸۸	-۰,۷۰	۴,۹۰	۸۳,۷	۶	۵	qDF5-3	
۲۳,۰۶	-۲,۶۶	۳,۶۳	۳,۲۷	۱۷۱,۱	۱۰	۵	qDF5-4	
۱۸,۰۳	۰,۵۵	۳,۱۴	۳,۴۸	۲۶	۱	۳	qDF3-1	
۱,۹۵	-۳,۸۶	-۱,۷۳	۴,۰۹	۹۰,۴	۷	۵	qDF5-1	CIM
۱۵,۳۴	-۱,۰۶	-۳,۰۴	۳,۲۳	۱۲۷,۱	۸	۵	qDF5-2	

QTL: quantitative trait loci, LOD: \log_{10} likelihood ratio (likelihood that the effect occurs by linkage/likelihood that the effect occurs by chance), R²: percentage of phenotypic variance explained by the individual QTLs. IM: interval mapping, CIM: composite interval mapping.



شکل ۲- الگوی باندی مربوط به آغازگر PT30346 از نشانگرهای SSR در تعدادی از افراد جمعیت F_2 توتون شرقی حاصل از تلاقی seres 31 (\varnothing) \times SPT 406 (δ)]



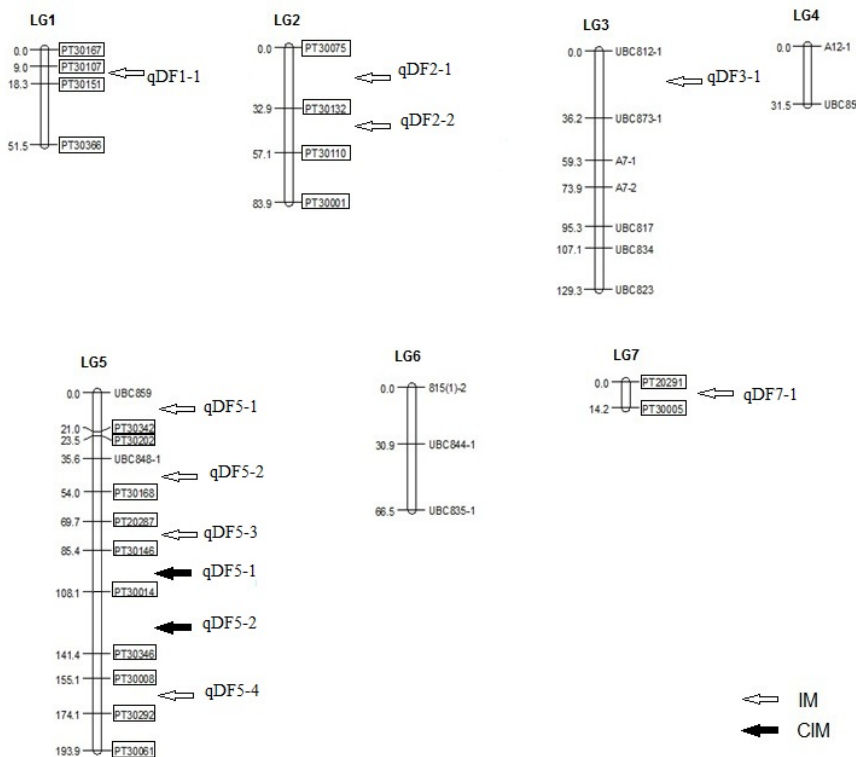
شکل ۳- الگوی باندی مربوط به آغازگر UBC810 از نشانگرهای ISSR در تعدادی از افراد جمعیت F_2 توتون شرقی حاصل از تلاقی seres 31 (\varnothing) \times SPT 406 (δ)]

والد مادری Basma Seres 31 به نتاج منتقل گردیده است. با توجه به جدول ۲، از میان QTL های شناسایی شده، qDF1-1 و qDF5-3 با مقدار $4/9$ و $2/6$ بیشترین و کمترین مقدار LOD را دارند. در این مطالعه، بیشترین تعداد QTL شناسایی شده در گروه پیوستگی شماره پنج قرار دارد (شکل ۴). در این تحقیق QTL هایی با اثرات کوچک شناسایی شدند که در کنترل صفت نقش داشتند که تأییدی بر وجود سیستم کنترل چندزنی است. در نقشه تهیه شده با توجه به تعداد پایین نشانگرها و فاصله زیاد آنها از یکدیگر این احتمال وجود دارد که در نسلهای بعد به دلیل کراسینگ اور ارتباط بین QTL با نشانگر شکسته شود. در

مقدار اثرات افزایشی و غالبیت برای qDF5-3 QTL به ترتیب $0/7$ و $5/7$ و برای qDF2-2 QTL به ترتیب $4/5$ و $2/7$ می باشد (جدول ۲). QTL های شناسایی شده با استفاده از روش CIM، در گروه پیوستگی شماره پنج قرار دارند که $1/95$ و $15/3$ درصد از تغییرات فنوتیپی صفت روز تا شروع گلدهی در توتون های شرقی را توجیه می نمایند (جدول ۲). مقدار اثرات افزایشی و غالبیت QTL های شناسایی شده از طریق CIM، به ترتیب $1/7$ و $3/8$ برای qDF5-1 و $3/5$ و $10/6$ برای qDF5-2 می باشد (جدول ۲). علامت منفی برای اثرات افزایشی و غالبیت نشاندهنده این است که این اثرات از

نshanگر بیشتر) و تهیه فنوتیپی که میانگین چندین تکرار است انجام شود. در نسلهای پیشرفته به دلیل وقوع نوترکیبیهای بیشتر و تثیت آللها احتمال شکستگی ارتباط بین نshanگر و QTL کمتر است. QTL‌های شناسایی شده در چنین شرایطی از اعتبار بیشتری برخوردار خواهند بود و پتانسیل استفاده در گرینش به کمک نshanگر را دارند.

حقیقت تعدادی از QTL‌های شناسایی شده وابسته به نسل باشند. همچنین در این نسل به دلیل نداشتن تکرار در اندازه گیری فنوتیپ و اثرات شدید محیطی، احتمال دارد در شناسایی QTL اریب وارد شده و نshanگرهای کاذب شناسایی شوند. بنابراین پیشنهاد می‌شود مکانیابی QTL در نسلهای پیشرفته تر با تهیه نقشه اشباع (نقشه با تراکم



شکل ۴- نقشه پیوستگی حاصل از نshanگرهای SSR و ISSR در جمعیت F_2 توتون شرقی حاصل از تلاقی بین 31 (والد مادری) و CarthaGene 1.2.2 (والد پدری) تهیه شده با استفاده از نرم‌افزار SPT 406

صفت روز تا گلدھی در گوجه فرنگی شناسایی کردند که این QTL‌ها در مجموع $55/3$ درصد از تنوعات فنوتیپی را توجیه می‌نمودند. در مطالعه ایی که فرری و همکاران (۲۱) در گیاه بادمجان انجام دادند، تعداد هشت QTL شناسایی گردید که از ۲۰ الی ۲۸ درصد از تغییرات فنوتیپی صفت گلدھی را توجیه می‌نمودند و بیشترین تعداد این QTL‌ها در گروه پیوستگی پنج قرار داشتند. طبق تحقیقات فرری و همکاران (۲۱) دو عدد از این QTL‌ها با مکانهایی

مطالعات مربوط به مکانیابی QTL در گیاهان مختلف و توسط افراد مختلف انجام شده است در مطالعه ای، سوموفات و همکاران (۳۳) روی گوجه فرنگی دو QTL برای صفت تاریخ گلدھی گزارش نمودند که در گروههای پیوستگی چهار و یک قرار داشتند و به ترتیب $2/5$ و $6/6$ درصد از تغییرات فنوتیپی را توجیه می‌نمودند. میزان اثر افزایشی این QTL‌ها به ترتیب $1/2$ و $2/5$ بودند (۳۳). همچنین، جمینز-گومز و همکاران (۲۷) دو QTL برای

سودمندی بالایی در گروه بندی گونه‌های *Crocus* و تحلیل روابط ژنتیکی آنها دارند. نتایج تحقیق حاضر نشان داد که صفت روز تا شروع گلدهی در توتونهای شرقی، یک صفت کمی می‌باشد که توسط ژنهای با اثرات افزایشی و غالباً کنترل می‌شود. با استفاده از نشانگرهای مولکولی SSR و ISSR می‌توان مکانهای ژنی کنترل کننده در صفاتی نظری گلدهی را در توتونهای شرقی شناسایی نمود. در صورتی که پایداری مکانهای ژنی شناسایی شده در این تحقیق توسط مطالعات بعدی نیز اثبات شود، می‌توان از این نشانگرهای همبسته در گزینش به کمک نشانگر در توتون استفاده نمود.

که صفت گلدهی را در گوجه فرنگی کنترل می‌نمودند هم مکان بودند یعنی دو QTL در گروه پیوستگی پنج به طور مشترک تاریخ گلدهی را در گوجه فرنگی و بادمجان کنترل می‌نمایند به طوری که در گیاه بادمجان ۴۱ درصد و در گیاه گوجه فرنگی ۱۸ درصد از تغییرات فوتوبی را توجیه می‌نمایند. در مطالعه‌ای، عبدالهی مندولکانی و عزیزی (۴) از طریق تجزیه ارتباط، نشانگرهای ISSR پیوسته با صفات مورفولوژیک در یونجه را شناسایی کردند. بیکی و همکاران (۱) از نشانگرهای ISSR برای بررسی تنوع *Crocus* و راثی ارقام زراعی و گونه‌های خودروی جنس *Crocus* استفاده کردند و گزارش نمودند که نشانگرهای ISSR

منابع

- ۴- عبدالهی مندولکانی، ب. و عزیزی، ح. (۱۳۹۳). شناسایی نشانگرهای ISSR پیوسته با صفات مورفولوژیک در جمعیتهای یونجه زراعی (*Medicago sativa L.*). پژوهش‌های سلولی و مولکولی. ۲۷: ۲۶۰-۲۶۸.
- ۵- محمدی، و.، قنادها، م.، ر.، زالی، ع.، یزدی صمدی، ب. و بربن، پ. (۱۳۸۴). نقشه یابی QTL‌های صفات مورفولوژیکی گندم. علوم کشاورزی ایران. ۳۶: ۱۵۷-۱۴۵.
- 6- Basten, C.J., Weir, B.S. and Zeng, Z.B. (2001). QTL Cartographer: a Reference Manual and Tutorial for QTL Mapping. Department of Statistics, North Carolina State University, USA. 395 Pp.
- 7- Beavis, W.D. (1994). The power and deceit of QTL experiments: lessons from comparative QTL studies. Proc. 49th Annu. Corn and Sorghum Industry Res. Conf., Chicago, 49:250-266.
- 8- Beavis, W.D. (1998). QTL analysis: Power, precision, and accuracy. In A.H. Paterson (ed.) Molecular dissection of complex traits. CRC Press, Boca Raton, FL. pp. 145-161.
- 9- Bindler, G., Hoeven, R., Gunduz, I., Plieske, J., Ganal, L., Rossi, L., Gadani, F. and Donini, P. (2007). A microsatellite marker based linkage map of tobacco. Theoretical and Applied Genetics. 114: 341-349.
- 10- Bindler, G., Plieske, J., Bakaher, N., Gunduz, I., Ivanov, N., Vander Hoeven, R., Ganal, M. and Donini, P. (2011). A high density genetic map of tobacco (*Nicotiana tabacum L.*) obtained from large scale microsatellite marker development. Theoretical and Applied Genetics. 123: 219-230.
- 11- Casas, C.C., Lee, O.N., Nemoto, K. and Sugiyama, N. (2008). QTL analysis of flowering time and related traits in an interspecies cross of tomato (*Solanum lycopersicum* × *Solanum pimpinellifolium*). Scientia Horticulturae. 116: 144-151.
- 12- Chai, C.C., Chai, L.G., Cai, C.C., Lin, G.P., Wang, Y. and Xu, F.S. (2009). Construction of genetic linkage map of burley tobacco (*Nicotiana tabacum L.*) and genetic dissection of partial traits. Acta Agronomica Sinica. 35: 1646-1654.
- 13- Cheng, L., Wang, Y., Zhang, C., Wu, C., Xu, J., Zhu, H., Leng, J., Bai, Y., Guan, R., Hou, W., Zhang, L. and Han, T. (2011). Genetic analysis

- and QTL detection of reproductive period and post-flowering photoperiod responses in soybean. *Theoretical and Applied Genetics.* 123: 421–429.
- 14- Darvishzadeh, R., alavi, S.R. and Sarafi, A. (2009). Genetic variability for chlorine concentration in oriental tobacco genotypes. *Archives of Agronomy and Soil Science.* 57: 167-177.
- 15- Davalieva, K., Maleva, L., Filiposki, K., Spiroski, O. and Efremov, G.d. (2010). Genetic variability of Macedonian tobacco varieties determined by microsatellite marker analysis. *Diversity.* 2: 439-449.
- 16- Dellaporta, S.L., Wood, J. and Hicks, J.B. (1983). A plant DNA mini-preparation: version II. *Plant Molecular Biology Reporter.* 1: 19–21.
- 17- De vicente, M.C. and Tanksley, S.D. (1993). QTL analysis of transgressive segregation in an interspecific tomato cross. *Genetics.* 134: 585–596.
- 18- Doganlar, S., Frary, A., Ku, H.M. and Tanksley, S.D. (2002). Mapping quantitative trait loci in inbred backcross lines of *Lycopersicon pimpinellifolium* (LA1589). *Genome.* 45: 1189–1202.
- 19- Ek, M., Eklund, R., Ven Post, R., Dayteg, C., Henriksson, T., Weibull, P., Ceplitis, A., Isaak, P. and Tuveson, S. (2005). Microsatellite markers for powdery mildew resistance in pea (*Pisum sativum* L.). *Hereditas.* 142: 86-91.
- 20- Ferreira A, da Silva MF, da Costa e Silva L, Cruz CD (2006). Estimating the effects of population size and type on the accuracy of genetic maps. *Genetics and Molecular Biology.* 29: 182-192.
- 21- Frary, A., Doganlar, S., Daunay, M.C. and Tanksley, S.D. (2003). QTL analysis of morphological traits in eggplant and implications for conservation of gene function during evolution of Solanaceous species. *Theoretical and Applied Genetics.* 107: 359-370.
- 22- Givry, S.D., Bouchez, M., Chabrier, P., Milan, D. and Schiex, T. (2005). Carthagene: multipopulation integrated genetic and radiation hybrid mapping. *Bioinformatics.* 21: 1703–1704.
- 23- Grandillo, S. and Tanksley, S.D. (1996). QTL analysis of horticultural traits differentiating the cultivated tomato from the closely related species *Lycopersicon pimpinellifolium*. *Theoretical and Applied Genetics.* 92: 935–951.
- 24- Hatami Maleki, H., Karimzadeh, G., Darvishzadeh, R. and Sarrafi, A. (2011). Correlation and sequential path analysis of some agronomic traits in tobacco (*Nicotiana tabacum* L.) to improve dry leaf yield. *Australian Journal of Crop Science.* 5: 1644-1648.
- 25- Hatami Maleki, H., Karimzadeh, G., Darvishzadeh, R. Naghavi, M.R. and Sarrafi, A. (2013). Identification of QTLs associated with low chloride accumulation in oriental tobacco. *Genetika.* 45: 855-864.
- 26- Jarillo, A.J., del Olmo, I., Gómez-Zambrano, A., Lázaro, A., López-González, L., Miguel, E., Narro-Diego, L., Sáez, D. and Piñeiro. M. (2008). Review. Photoperiodic control of flowering time. *Spanish Journal of Agricultural Research.* 6: 221-244.
- 27- Jimenez-Gomez, J.M., Alonso-Blanco, C., Borja, A., Anastasio, G., Angosto, T., Lozano, R. and Martinez-Zapater, J.M. (2007). Quantitative genetic analysis of flowering time in tomato. *Genome.* 50: 303–315.
- 28- Julio, E., Denoyes-Rothan, B., Verrier, J.L. and Dorlhac de borne, F. (2006). Detection of QTLs linked to leaf and smoke properties in *Nicotiana tabacum* based on a study of 114 recombinant inbred lines. *Molecular Breeding.* 18: 69–91.
- 29- Kikuchi, R. and Handa, H. (2009). Photoperiodic control of flowering in barley. *Breeding Science.* 59: 546–552.
- 30- Lander, E.S. and Botstein, D. (1989). Mapping Mendelian factors underlying quantitative traits using RFLP linkage maps. *Genetics.* 121: 185–199.
- 31- Lindhout, P., van Heusden, S., Pet, G., van Ooijen, J.W., Sandbrink, H., Verkerk, R., Vrielink, R. and Zabel, P. (1994). Perspectives of molecular marker assisted breeding for earliness in tomato. *Euphytica.* 79: 279–286.
- 32- Semagn K., Bjørnstad Å. and Ndjidjop M. N. (2006). Principles, requirements and prospects of genetic mapping in plants. *African Journal of Biotechnology* 5(25): 2569-2587.
- 33- Sumugat, M.R., Mayumi, M., Kyoko, A. and Sugiyama, N. (2010). Quantitative trait loci controlling flowerring properties in tomato. *ISSAAS Journal.* 16: 1-9.
- 34- Tong, Z., Jiao, T., Wang, F., Li, M., Leng, X., Gao, Y., Li, Y., Xiao, B. and Wu, W. (2012). Mapping of quantitative trait loci conferring resistance to brown spot in flue-cured tobacco (*Nicotiana tabacum* L.). *Plant Breeding.* 131: 335–339.

- 35- White, F.H., Pandeya, R.S. and Dirks, V.A. (1979). Correlation studies among and between agronomic, chemical, physical and smoke characteristics in flue-cured tobacco (*Nicotiana tabacum* L.). Canadian Journal of Plant Science. 59: 111-120.
- 36- Yang, B.C., Xiao, B.G., Chen, X.J. and Shi, C.H. (2007). Assessing the genetic diversity of tobacco germplasm using inter simple sequence repeat and inter-retrotransposon amplification polymorphism markers. Annals of Applied Biology. 150: 393-401.
- 37- Zeng, Z.B. (1993). Theoretical basis of separation of multiple linked gene effects on mapping quantitative trait loci. Proceedings of the National Academy of Sciences of the United States of America. 90: 10972-10976.
- 38- Zeng, Z.B. (1994). Precision mapping of quantitative trait loci. Genetics. 136: 1457-1468.
- 39- Zhang, D., Cheng, H., Hu, Z., Wang, H., Kan, G. and Liu, C. (2013). Fine mapping of a major flowering time QTL on soybean chromosome 6 combining linkage and association analysis. Euphytica. 191: 23-33.

Identification of genetic loci controlling flowering time in oriental-type tobacco

Hoshyardel F.¹, Darvishzadeh R.¹ and Hatami Maleki H.²

¹ Plant Breeding and Biotechnology Dept., Faculty of Agriculture, Urmia University, Urmia, I.R. of Iran

² Agronomy and Plant Breeding Dept., Faculty of Agriculture, University of Maragheh, Maragheh, I.R. of Iran

Abstract

In order to identify genetic loci associated with flowering time in oriental-type tobacco, the genetic population comprising 100 F_2 individuals from the cross between two oriental-type genotypes Basma seres 31 (maternal) \times SPT 406 (paternal) were evaluated for days to flowering character. In molecular experiment, linkage map with 23 SSR and 29 ISSR markers were prepared which covered 570.8 cM of tobacco genome. Using interval and composite interval mapping procedures, 9 and 2 QTLs were identified for studied character, respectively. In this study, the most of identified QTLs were located on linkage group 5. Genetic loci qDF5-3 and qDF2-27, identified via interval mapping, with 0.8 and 36 percent of R^2 were the minor and major QTLs, respectively. According to results, the percentage of phenotypic variance (R^2) explained by identified QTLs through composite interval mapping (qDF5-1 and qDF5-2), ranged from 1.95 to 15.34. Results revealed the role of both additive and dominance effects in genetic control of days to flowering in oriental-type tobacco.

Key words: Gene mapping, genetic population, molecular markers, quantitative traits, tobacco.